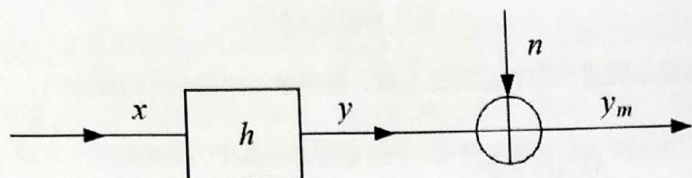


1 题目

用仿真试验和信号分析的方法确定如下图所示系统的频率响应函数 $H(\omega)$ 。 x 为输入系统的随机信号, y



为系统对随机信号的响应, y_m 为实际测到的混有噪声 n 的响应, $y_m = y + n$, h 为系统的单位冲激响应。系统的微分方程为:

$$\ddot{y}(t) + 2\zeta\Omega_n\dot{y}(t) + \Omega_n^2 y(t) = x(t) \quad (1.1)$$

式中, $\Omega_n = 2\pi f_n$ 是系统的固有频率, $f_n = 50 \text{ Hz}$; $\zeta = 0.1$ 是系统的阻尼比。

基本要求如下:

1. 用 MATLAB 产生随机信号, 作为输入 x 和混入输出 y 的噪声 n ;
2. 用卷积或其他方法 (例如龙格-库塔算法) 计算系统对 x 的响应 y ;
3. 分别用

$$H(\omega) = \frac{Y_m(\omega)}{X(\omega)}, H_1(\omega) = \frac{P_{xy_m}(\omega)}{P_x(\omega)}, H_2(\omega) = \frac{P_{y_m}(\omega)}{P_{xy_m}^*(\omega)}$$

估计系统在 $10 \sim 250 \text{ Hz}$ 范围内的频率响应函数 $H(\omega)$, 并观察结果有何不同。

根据计算结果写一个报告, 首先对基本理论作一下简要阐述; 其次是程序与计算结果 (图表), 其中程序必须进行注解, 计算结果要有分析; 再次是对感兴趣的参数或方法变化进行讨论与比较; 最后作一下总结。

2 理论分析

2.1 理论频率响应函数 $H(\omega)$

对系统微分方程式 1.1 两边作拉普拉斯变换, 得到

$$s^2 Y(s) - sy(0) - \dot{y}(0) + 2\zeta\Omega_n(sY(s) - y(0)) + \Omega_n^2 Y(s) = X(s) \quad (2.1)$$

零初条件下, 得到系统传递函数 $H(s)$ 为

$$H(s) = \frac{Y(s)}{X(s)} = \frac{1}{s^2 + 2\zeta\Omega_n s + \Omega_n^2} \quad (2.2)$$

令 $s = j\omega$, 得到频率响应函数为

$$H(\omega) = \frac{1}{\Omega_n^2 - \omega^2 + 2\zeta\Omega_n j\omega} \quad (2.3)$$

代入系统固有频率 $\Omega_n = 2\pi f_n$, $f_n = 50 \text{ Hz}$, 系统阻尼比 $\zeta = 0.1$, 得到

$$H(\omega) = \frac{1}{10000\pi^2 - \omega^2 + 20\pi j\omega} \quad (2.4)$$

2.2 卷积法求系统输出

系统输出是输入与系统单位冲激响应的卷积, 即

$$y(t) = x(t) * h(t) \quad (2.5)$$

其中, 对式 2.2 表示的传递函数进行拉普拉斯反变换, 得到单位冲激响应函数 $h(t)$

$$h(t) = \frac{1}{\Omega_n \sqrt{1 - \zeta^2}} e^{-\zeta \Omega_n t} \sin(\Omega_d t), \quad \text{其中 } \Omega_d = \Omega_n \sqrt{1 - \zeta^2} \quad (2.6)$$

卷积的连续形式为:

$$y(t) = \int_{-\infty}^{+\infty} x(\tau) h(t - \tau) d\tau \quad (2.7)$$

离散形式为:

$$y(i) = \sum_{i=-\infty}^{+\infty} x(i) h(n - i) \quad (2.8)$$

对于混有噪声 n 的输出 y_m , 表达式为

$$y_m(i) = \sum_{i=-\infty}^{+\infty} x(i) h(n - i) + n(i) \quad (2.9)$$

2.3 使用 $H_0(\omega) = \frac{Y_m(\omega)}{X(\omega)}$ 和估计频率响应函数

求得结果包含噪声频谱, 即

$$H_0(\omega) = \frac{Y_m(\omega)}{X(\omega)} = \frac{Y(\omega) + N(\omega)}{X(\omega)} = H(\omega) + \frac{N(\omega)}{X(\omega)} \quad (2.10)$$

2.4 使用 $H_1(\omega) = \frac{P_{xy_m}(\omega)}{P_x(\omega)}$ 和 $H_2(\omega) = \frac{P_{y_m}(\omega)}{P_{xy_m}^*(\omega)}$ 估计频率响应函数

由于实际输出 $y_m(i)$ 混有噪声, 即

$$y_m(i) = y(i) + n(i) \quad (2.11)$$

因此, $y_m(i)$ 的自相关函数 $r_{y_m}(m)$ 为

$$r_{y_m}(m) = r_y(m) + r_{yn}(m) + r_{ny}(m) + r_n(m) \quad (2.12)$$

互相关函数 $r_{xy_m}(m)$ 为

$$r_{xy_m}(m) = r_{xy}(m) + r_{xn}(m) \quad (2.13)$$

对式 2.12 和式 2.13 两边作傅里叶变换, 分别有

$$P_{y_m}(\omega) = P_y(\omega) + P_{yn}(\omega) + P_{ny}(\omega) + P_n(\omega) \quad (2.14)$$

$$P_{xy_m}(\omega) = P_{xy}(\omega) + P_{xn}(\omega) \quad (2.15)$$

由教材已知

$$P_y(\omega) = P_x(\omega) H(\omega) H^*(\omega) \quad (2.16)$$

$$P_{xy}(\omega) = P_x(\omega) H(\omega) \quad (2.17)$$

所以, 根据式 2.14、式 2.15、式 2.16、式 2.17, 可推导出

$$H_1(\omega) = \frac{P_{xy_m}(\omega)}{P_x(\omega)} = \frac{P_x(\omega)H(\omega) + P_{xn}(\omega)}{P_x(\omega)} = H(\omega) + \frac{P_{xn}(\omega)}{P_x(\omega)} \quad (2.18)$$

$$H_2(\omega) = \frac{P_{y_m}(\omega)}{P_{x_{y_m}}^*(\omega)} = \frac{P_x(\omega)H(\omega)H^*(\omega) + P_{yn}(\omega) + P_{ny}(\omega) + P_n}{P_x(\omega)H(\omega) + P_{xn}(\omega)} \quad (2.19)$$

从作图的角度看, 此时 $H_1(\omega)$ 相比理论 $H(\omega)$, 含有纵轴上的与 $H(\omega)$ 无关的微小误差项 $P_{xn}(\omega)$; 而 $H_2(\omega)$ 的误差项与 $H(\omega)$ 有关, 难以分辨。但是如果考虑噪声是从输入混入的, 则此时 $H_2(\omega)$ 与当前的 $H_1(\omega)$ 类似, 将仅在横轴含有与 $H(\omega)$ 无关的微小误差项。

因此, $H_1(\omega)$ 适用于输出混有独立噪声的情况, $H_2(\omega)$ 适用于输出混有独立噪声的情况

3 仿真试验

3.1 仿真结果

随机信号 x 和噪声 n 、以及理想频率响应函数、三种频率响应函数估计算法结果如图 1 所示。

3.2 分析总结

使用 $H_1(\omega)$ 估计时非常接近理想情况, 是一种无偏估计, 比 $H_0(\omega)$ 要好的多, 适用于输出混有噪声的情况。使用 $H_2(\omega)$ 会显著受到噪声影响, 且随着噪声方差的增大而增大, 在使用时需要计算输出的信噪比作为参考。

3.3 MATLAB 代码

代码如下所示。

```
1 clc
2 clear
3 close all
4
5 Fs = 1000; % 采样频率
6 T = 1 / Fs; % 采样时间
7 L = 10240; % Length of signal
8 t = (0:L-1)*T; % Time vector
9
10 f_n = 50;
11 w_n = 2 * pi * f_n; % 系统的固有频率
12 zeta = 0.1; % 系统的阻尼比
13 w_d = w_n * sqrt(1 - zeta ^ 2); % 系统的阻尼自振角频率
14 h = (1 / w_d) * exp(-zeta * w_n * t) .* sin(w_d * t); % 单位冲击响应函数h(t)
15
16 rng(10, 'twister'); % 设置随机生成器状态
17 x = randn(1, 40*L); % 输入随机信号x
18 rng(20, 'twister');
19 n = 0.001 * randn(1, 40*L); % 输出混杂的噪声n
20
21 figure
22 plot((0:40*L-1)*T, x); % 绘制输入随机信号x
23 xlabel('Time/s', 'Interpreter', 'latex');
```

```

ylabel('x(t)', 'Interpreter', 'latex');
xlim([0, 1])

figure
plot((0:40*L-1)*T, n); % 绘制输出混杂的噪声n
xlabel('t', 'Interpreter', 'latex');
ylabel('n(t)', 'Interpreter', 'latex');
xlim([0, 1])

y = conv(x, h); % 使用卷积求系统输出
y = y(1:40*L);
y_m = y + n; % 输出混杂噪声

% 使用cpsd计算输入输出信号的互功率谱和自功率谱
[Pxx, ~]=cpsd(x, x, hanning(L), L / 2, L, Fs);
[Pyy, ~]=cpsd(y_m, y_m, hanning(L), L / 2, L, Fs);
[Pxy, f]=cpsd(x, y_m, hanning(L), L / 2, L, Fs);

H = fft(h); % 系统理想的频率响应函数
H_0 = fft(y_m(1:L))./fft(x(1:L)); % 题中H_0
H_1 = Pxy ./ Pxx; % 题中H_1
H_2 = Pyy ./ conj(Pxy); % 题中H_2

figure % 绘制H和H_0对比图
plot(f, 20*log10(abs(H(1:L / 2 + 1))))
hold on
plot(f, 20*log10(abs(H_0(1:L / 2 + 1))))
hold on

set(legend('SH(f)', '$H_0(f)$'), 'Interpreter', 'latex');
xlabel('Frequency (Hz)', 'Interpreter', 'latex');
ylabel('$|H(f)|$ (dB)', 'Interpreter', 'latex');
xlim([10, 150])

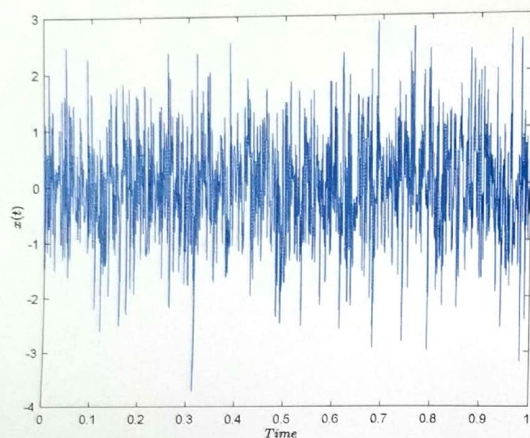
figure % 绘制H和H_1对比图
plot(f, 20 * log10(abs(H(1:L/2+1))))
hold on
plot(f, 20 * log10(abs(H_1)))
hold on

set(legend('SH(f)', '$H_1(f)$'), 'Interpreter', 'latex');
xlabel('Frequency (Hz)', 'Interpreter', 'latex');
ylabel('$|H(f)|$ (dB)', 'Interpreter', 'latex');
xlim([10, 150])

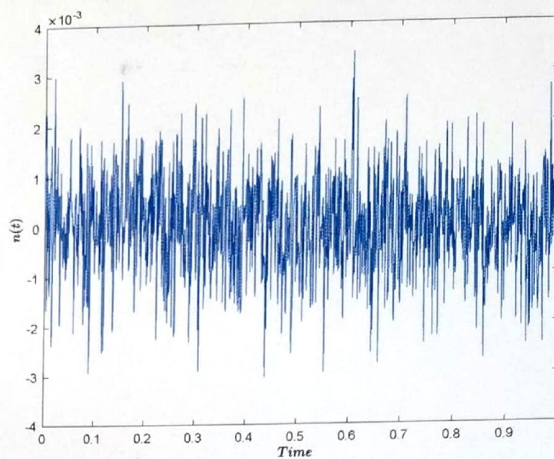
figure % 绘制H和H_2对比图
plot(f, 20 * log10(abs(H(1:L / 2 + 1))))
hold on
plot(f, 20 * log10(abs(H_2)))
hold on

set(legend('SH(f)', '$H_2(f)$'), 'Interpreter', 'latex');
xlabel('Frequency (Hz)', 'Interpreter', 'latex');

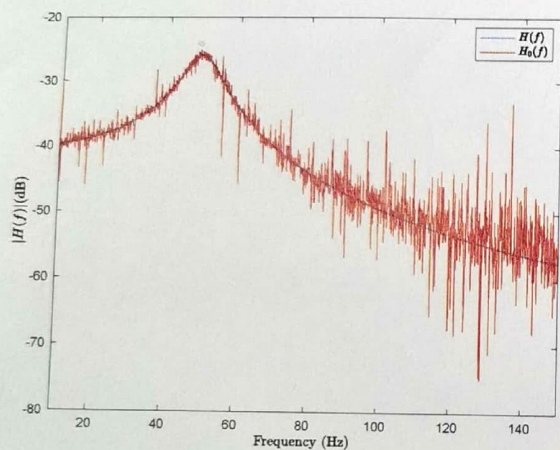
```

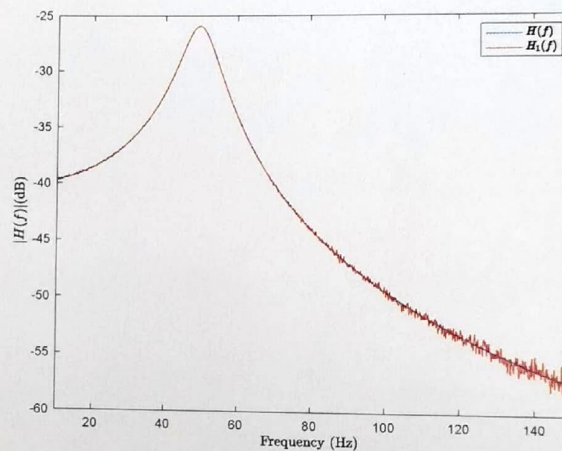
(a) 输入信号 x



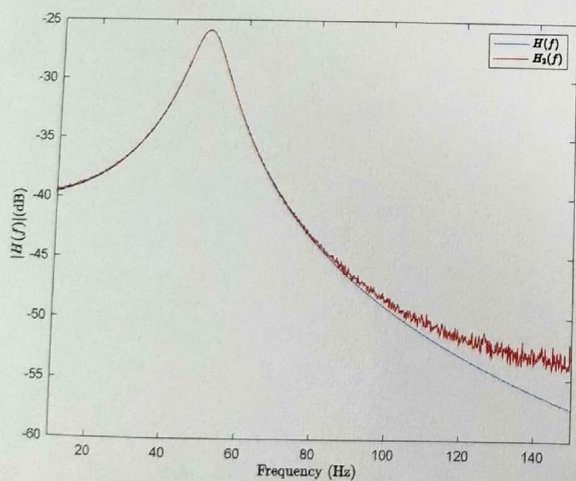
(b) 输出混杂的噪声 n , 默认方差为 0.001



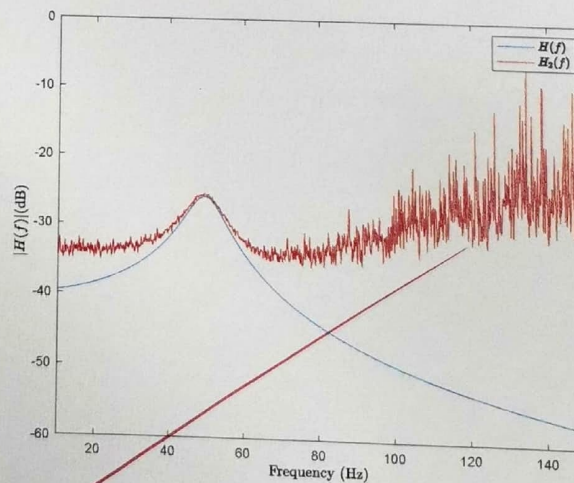
(c) H_0 与理想频响应函数比较



(d) H_1 与理想频响应函数比较



(e) 噪声方差为 0.001 时的 H_2



(f) 噪声方差为 0.01 时的 H_2

图 1: 仿真结果